

۶- پیوست

مشخصات واگن مسافری مطالعه شده

$m_w = 1180 \text{ kg}$	$b_1 = 1 \text{ m}$	$K_{sx} = 1000 \times 10^5 \text{ N/m}$
$m_t = 500 \text{ kg}$	$b_r = 1.1 \text{ m}$	$K_{sy} = 1000 \times 10^5 \text{ N/m}$
$m_c = 32000 \text{ kg}$	$b_r = 1.1 \text{ m}$	$K_{sz} = 1000 \text{ N/m}$
$I_{wx} = 680 \text{ kg.m}^2$	$L_1 = 0.9 \text{ m}$	$C_{sx} = 1000 \text{ Ns/m}$
$I_{wy} = 73 \text{ kg.m}^2$	$L_r = 0.9 \text{ m}$	$C_{sy} = 1000 \text{ Ns/m}$
$I_{wz} = 680 \text{ kg.m}^2$	$L_c = 9.5 \text{ m}$	$C_{sz} = 100 \text{ Ns/m}$
$I_{tx} = 250 \text{ kg.m}^2$	$h_T = 0.12 \text{ m}$	$f_{11} = 2.212 \times 10^6 \text{ N}$
$I_{tz} = 300 \text{ kg.m}^2$	$K_{px} = 1000 \times 10^5 \text{ N/m}$	$f_{1r} = 3120 \text{ Nm}^2$
$I_{cx} = 14270 \text{ kg.m}^2$	$K_{py} = 1000 \times 10^5 \text{ N/m}$	$f_{rr} = 16 \text{ N}$
$I_{cz} = 197000 \text{ kg.m}^2$	$K_{pz} = 1000 \times 10^5 \text{ N/m}$	$f_{rr} = 2.563 \times 10^6 \text{ N}$
$r_1 = 0.46 \text{ m}$	$C_{py} = 1000 \text{ Ns/m}$	$\mu = 0.3$
$a = 0.7175 \text{ m}$	$C_{pz} = 100 \text{ Ns/m}$	

منابع و مراجع

- [1] S. Y. Lee, and Y. C. Cheng, "Hunting stability analysis of high-speed railway vehicle trucks on tangent tracks", Journal of sound and vibration (2005), Vol. 282, pp. 898-881.
- [2] E. H. Law, and N. K. Cooperrider, "A survey of railway vehicle dynamics research", Journal of Dynamic Systems, Measurement and Control (June 1974), pp. 146-132.
- [3] A. H. Wickens, "The hunting stability of railway vehicle wheelsets and bogies having profiled wheels", International Journal of Solids and Structures (1965), Vol. 1, pp. 341-319.
- [4] M. No, and J. K. Hedrick, "High speed stability for rail vehicles considering varying conicity and creep coefficients", Vehicle Systems Dynamics (1984), Vol. 13, pp. 313-299.
- [5] M. Ahmadian, and Y. Shaopu, "Effect of system nonlinearities on locomotive bogie hunting stability", Vehicle System Dynamics (1998), Vol. 29, pp. 384-366.
- [6] Y. C. Cheng, S. Y. Lee, and H. H. Chen, "Modeling and nonlinear hunting stability analysis of high-speed railway vehicle moving on curved tracks", Journal of Sound and Vibration (2009), Vol. 324, pp. 160-139.

[۷] آ. قنبری، «تحلیل دینامیکی بوژی ZK3 هنگام عبور از مسیر قوسی شکل»، پایان نامه دوره کارشناسی ارشد، دانشگاه

بررسی دوشاخه‌شدگی و آشوب در سیستم‌های چرخ دنده‌ای دارای پارامترهای غیر خطی لقی، خطای انتقال و سختی درگیری متغیر با زمان

• انوشیروان فرشیدیان^۱
Farshid@um.ac.ir

• امین ثقفی^۲
a.i.saghafi@gmail.com

• ایمان ثقفی^۳
me.i.saghafi@gmail.com

چکیده

این پژوهش به بررسی و تحلیل رفتار دینامیکی سیستم‌های غیر خطی انتقال چرخ‌دنده‌ای می‌پردازد. یک سیستم چرخ‌دنده‌ای با در نظر گرفتن پارامترهای غیر خطی موثر از جمله لقی، خطای انتقال استاتیکی و نیز سختی درگیری متغیر با زمان، مدل‌سازی و مشخصه‌های غیر خطی سیستم از قبیل پاسخ‌های تناوبی، دوشاخه‌شدگی (انشعاب)^۱ و آشوب^۲، مورد بررسی قرار می‌گیرد. نمودارهای دوشاخه‌شدگی به منظور تعیین مشخصه‌های سیستم و با توجه به پارامترهای کنترل مختلف سیستم به دست می‌آید. روش بالانس هارمونیک افزاینده^۳ (IHB)، به عنوان یک روش تحلیلی برای محاسبه پاسخ تناوبی سیستم‌های غیر خطی مورد استفاده قرار گرفته و نتایج به دست آمده از این روش با نتایج حاصل از روش عددی نیز مقایسه می‌شوند. پاسخ آشفته سیستم نیز با روش عددی محاسبه می‌شود. همچنین پاسخ زمانی، نگاشت پوانکاره و نمودار صفحه و فاز نیز برای مقایسه و درک بهتر این رفتارها ارائه می‌گردند.

واژه‌های کلیدی: دوشاخه‌شدگی، آشوب، روش بالانس هارمونیک افزاینده (IHB)، ارتعاشات غیر خطی، سیستم انتقال چرخ‌دنده

۱. دانشیار گروه مهندسی مکانیک، دانشگاه فردوسی مشهد
۲. دانشجوی دکتری مکانیک، دانشگاه فردوسی مشهد
۳. دانشجوی کارشناسی ارشد مکانیک، دانشگاه صنعتی مالک اشتر

مقدمه

سیستم‌های چرخ‌دنده‌ای از مهم‌ترین اجزای سیستم‌های مکانیکی می‌باشند. برای یک دوره‌ی طولانی، سیستم‌های انتقال چرخ‌دنده‌ای با تئوری ارتعاشات خطی بدون توجه به عوامل غیرخطی از قبیل لقی و سختی درگیری متغیر با زمان دندانه‌ها، مورد بررسی قرار می‌گرفت [۱]. رفته رفته معلوم شد که ارتعاش سیستم‌های چرخ‌دنده‌ای باید به صورت غیرخطی مورد بررسی قرار گیرد. تاثیرات پس زنی، سختی متغیر با زمان چرخ‌دنده، اصطکاک بین سطوح دنده‌ها، خطاهای انتقال چرخ‌دنده و سختی تکیه‌گاه متغیر با زمان و غیره، بر روی سیستم‌های چرخ‌دنده‌ای به طور وسیعی در سال‌های اخیر مورد بررسی قرار گرفته است [۲-۴].

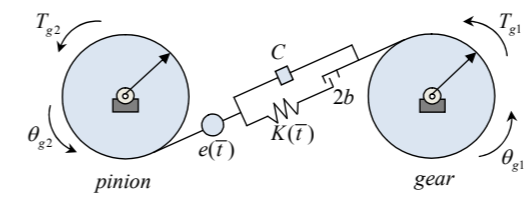
با پیشرفت دینامیک غیرخطی، مشخصه‌های غیرخطی سیستم از قبیل پاسخ‌های پرریز، دوشاخه‌شدگی (انشعاب) و آشوب مورد توجه بیشتری قرار گرفت. به این منظور روش‌های عددی، تحلیلی و آزمایشی برای بررسی پاسخ ارتعاشی چرخ‌دنده‌ها به کار گرفته شد. بر اساس تحقیقات Takatsu و Sato, Kamada [۵]، که وقوع پدیده‌های پرش، نوسانات سبب و سوپر هارمونیک را یافتند، Kawakami و Yamamoto [۶]، یک مدل غیرخطی دارای لقی و سختی وابسته به زمان را ارائه و دو شاخه‌شدگی و همچنین پدیده‌های گذار آشوب را با استفاده از روش عددی بررسی کردند. Blankenship و Kahraman [۷]، به صورت آزمایشی سیستم‌های چرخ‌دنده‌ای دارای لقی را بررسی نمودند. پدیده‌هایی شامل عدم پیوستگی در منحنی‌های پاسخ، رزونانس‌های سبب-هارمونیک و سوپرهارمونیک، انشعابات و حرکت آشفته، مشاهده گردید. Theodossiades و Natsiavas [۸] مشخصه‌های پایداری و پاسخ دینامیکی یک سیستم دورانی چرخ‌دنده‌ای را بررسی کردند. آنها بسیاری از رفتارهای غیر پرریز را مشاهده نمودند. همچنین آنها [۹] یک سیستم جفت چرخ‌دنده‌ای پس زنی را بررسی و به رفتار پرریز و آشفته پی بردند. Chang-Jian و همکارانش [۱۰-۱۳] نیز یک مطالعه بر روی رفتار غیرپرریز و آشفته سیستم‌های دورانی انجام داده‌اند.

روش بالانس هارمونیک (HBM) نیز به عنوان یک روش تحلیلی موثر در سیستم‌های غیرخطی توسط Yakubovich و Starzhinskii [۱۴]، ارائه شد. در این شیوه پاسخ حالت پایدار می‌تواند به صورت یک سری فوریه با نادیده گرفتن سهم ترم‌های فرکانسی بالا بیان شود. با جای‌گذاری سری فوریه در معادلات حاکم، مجموعه‌ای از معادلات جبری خطی به دست می‌آید که با حل معادلات، ضرایب سری فوریه که همان ضرایب پاسخ سیستم می‌باشند، حاصل می‌شود. در این روش مقدار تقریبی پاسخ در تمام حوزه‌ی فرکانسی به دست می‌آید. روش IHB نیز مشابه روش بالانس هارمونیک دارای ترم‌های افزایشنده و با کارایی بهتر در حل معادلات غیرخطی

مورد استفاده قرار گرفته است. [۱۵-۲۰]. به عنوان مثال Narayanan و Raghothama [۲۰]، با استفاده از روش IHB سیستم چرخ‌دنده‌ای غیرخطی با لقی و سختی‌های درگیری متغیر با زمان را بررسی نموده‌اند. با توجه به کارایی روش IHB، در این پژوهش از این روش به منظور بررسی و تحلیل ارتعاشات غیرخطی چرخ‌دنده‌ای و بررسی پدیده دوشاخه‌شدگی و آشوب استفاده می‌گردد. معادلات ارتعاشی برای یک مدل چرخ‌دنده‌ای دارای لقی، خطای انتقال استاتیکی و نیز سختی درگیری متغیر با زمان استخراج و روش IHB برای بررسی پاسخ معادلات غیرخطی مربوطه به کار گرفته می‌شود. نمودار دوشاخه‌شدگی سیستم و همچنین پاسخ زمانی، نمودار صفحه- فاز و نگاشت پوانکاره نیز برای نمایش این پدیده‌ها بیان می‌گردد. برای بررسی دقت روش IHB، نتایج با نتایج عددی نیز مقایسه می‌گردد.

مدل‌سازی و استخراج معادلات حاکم

در زمینه دینامیک غیرخطی چرخ‌دنده‌ها تحقیقات گسترده‌ای صورت پذیرفته است. مدل‌های ارائه شده در بررسی‌های گسترده نشان دهنده تغییرات قابل توجهی نه فقط در تاثیرات در برگیرنده آن، بلکه همچنین در فرضیات پایه و اساسی نیز است. مدل جامع ارائه شده برای یک جفت چرخ‌دنده در حال درگیری به صورت نشان داده شده در شکل (۱) است. درگیری چرخ‌دنده به صورت دو دیسک صلب که توسط فنر و دمپر به یکدیگر متصل شده‌اند، مدل می‌شود [۲۱]. در این مدل خطای انتقال استاتیکی به صورت یک تحریک جابجایی $e(\bar{t})$ ، ارائه می‌گردد. منشأ این خطا از منابع متعددی از جمله تغییر شکل دندانه تحت بار، سطح غیر یکنواخت دندانه، خطاهای ساخت پروفیل دندانه و ... است. سختی درگیری نیز به صورت یک تابع متغیر با زمان $K(\bar{t})$ و ضریب دمپینگ نیز به صورت ثابت و با C نمایش داده می‌شود.



شکل ۱: مدل جفت چرخ‌دنده‌ی ساده

با توجه به مدل ارائه شده، معادلات حرکت به صورت زیر بیان می‌شوند:

$$I_{g1} \frac{d^2 \theta_{g1}}{dt^2} + c(r_{g1} \frac{d\theta_{g1}}{dt} - r_{g2} \frac{d\theta_{g2}}{dt} - \frac{de}{dt}) r_{g1} + r_{g1} K(\bar{t}) f(r_{g1} \theta_{g1} - r_{g2} \theta_{g2} - e(\bar{t})) = T_{g1} \quad (الف)$$

با اعمال تغییر متغی $\Omega t = \tau$ شکل کلی معادلات مربوطه به صورت زیر حاصل می‌گردد:

$$I_{g2} \frac{d^2 \theta_{g2}}{d\tau^2} - c(r_{g1} \frac{d\theta_{g1}}{d\tau} - r_{g2} \frac{d\theta_{g2}}{d\tau} - \frac{de}{d\tau}) r_{g2} - r_{g2} K(\bar{t}) f(r_{g1} \theta_{g1} - r_{g2} \theta_{g2} - e(\bar{t})) = -T_{g2} \quad (ب)$$

$$\Omega^2 \frac{d^2 x(\tau)}{d\tau^2} + 2\epsilon\mu\Omega \frac{dx(\tau)}{d\tau} + f(x(\tau)) = F(\tau) \quad (۸)$$

$$\Rightarrow H(\ddot{x}, \dot{x}, x, \Omega, \tau) = 0$$

که $\theta_{g1}, \theta_{g2}, I_{g1}, I_{g2}, T_{g1}, T_{g2}, r_{g1}, r_{g2}$ به ترتیب بیانگر زاویه پیچش، ممان اینرسی، گشتاور تحریک اعمال شده و شعاع‌های چرخ‌دنده و پینیون می‌باشد. با تعریف خطای انتقال دینامیکی به صورت، معادله (۱) به شکل زیر بازنویسی می‌گردد:

$$m \frac{d^2 \delta}{d\bar{t}^2} + c \frac{d\delta}{d\bar{t}} + k(\bar{t}) g(\delta) = T - m \frac{d^2 e(\bar{t})}{d\bar{t}^2} \quad (۲)$$

$$m = \frac{I_a I_b}{I_b R_a^2 + I_a R_b^2}, T = m(\frac{T_{g1} r_{g1}}{I_{g1}} + \frac{T_{g2} r_{g2}}{I_{g2}}), g(\delta) = \begin{cases} \delta - b & \delta > b \\ 0 & -b \leq \delta \leq b \\ \delta + b & \delta < -b \end{cases} \quad (۳)$$

معادل با اینرسی کل جفت چرخ‌دنده، T متوسط نیروی انتقال یافته توسط چرخ‌دنده و $g(\delta)$ تابع جابجایی غیرخطی به دلیل وجود لقی می‌باشد. در حرکت پایدار سیستم چرخ‌دنده، سختی درگیری را می‌توان به صورت تقریبی با سری فوریه زیر بیان نمود [۲۲].

$$K(\bar{t}) = k \left[1 + 2 \sum_{j=1}^J \epsilon_j \cos(j\omega\bar{t}) \right] \quad (۴)$$

برای بی بعد نمودن معادله (۲) از جای‌گذاری روابط زیر در معادله استفاده می‌کنیم:

$$x = \frac{\delta}{b}, \omega_n = \sqrt{\frac{k}{m}}, \Omega = \frac{\omega}{\omega_n}, \epsilon\mu = \frac{c}{2m\omega_n}, t = \omega_n \bar{t}, T_0 = \frac{T}{bk} \quad (۵)$$

با بسط خطای انتقال با مرتبه‌ای یکسان با $K(\bar{t})$ ، معادله‌ی (۲) را می‌توان به صورت زیر بازنویسی کرد.

$$\frac{d^2 x}{dt^2} + 2\epsilon\mu \frac{dx}{dt} + \left[1 + 2 \sum_{j=1}^J \epsilon_j \cos(j\Omega t) \right] g(x) = T_0 - \sum_{l=1}^L (j\Omega)^2 T_j \cos(j\Omega t) \quad (۶)$$

$$g(x) = \begin{cases} x-1 & x > 1 \\ 0 & -1 \leq x \leq 1 \\ x+1 & x < -1 \end{cases} \quad (۷)$$

که

$$f(x(\tau)) = \left[1 + 2 \sum_{j=1}^J \epsilon_j \cos(j\tau) \right] g(x)$$

$$F(\tau) = T_0 - \sum_{l=1}^L (j\Omega)^2 T_j \cos(j\tau)$$

در ادامه برای حل معادله فوق از روش IHB استفاده می‌گردد.

شمای کلی روش بالانس هارمونیک افزایشنده (IHB) از آن جایی که روش بالانس هارمونیک افزایشنده در برخی از مقالات مانند [۱۵-۲۰] به کار گرفته شده است، در این قسمت فرمولاسیون مربوطه به اختصار بیان می‌گردد. برای فرم کلی معادلات به شکل $H(\ddot{x}, \dot{x}, x, \Omega, \tau)$ پارامترهای x و Ω به صورت ترم‌های افزایشنده به صورت زیر تعریف می‌شوند:

$$\Omega = \Omega_0 + \Delta\Omega \quad (۱۰)$$

با جایگذاری روابط (۱۰) در معادله (۸) و پس از ساده سازی داریم:

$$\Omega_0^2 \frac{d^2 \Delta x}{d\tau^2} + 2\epsilon\mu\Omega_0 \frac{d\Delta x}{d\tau} + f'(x_0)\Delta x = R + \Delta\Omega P \quad (۱۱)$$

$$R = -[\Omega_0^2 \frac{d^2 x_0}{d\tau^2} + 2\epsilon\mu\Omega_0 \frac{dx_0}{d\tau} + f(x_0) - F(\tau)]$$

$$P = -2\Omega_0 \frac{d^2 x_0}{d\tau^2} - 2\epsilon\mu \frac{dx_0}{d\tau}$$

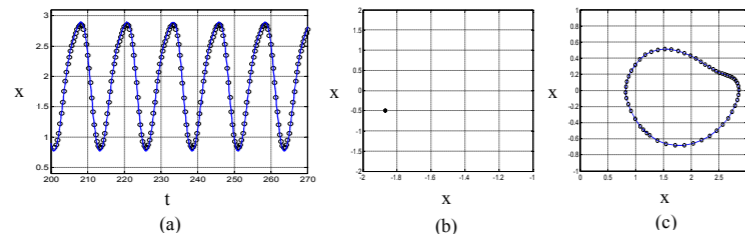
پاسخ تناوبی مسئله و نیز مقدار تغییرات آن به صورت زیر فرض می‌شود:

$$x(\tau) = a_0 + \sum_{n=1}^N [a_n \cos(n\tau) + b_n \sin(n\tau)] \quad (۱۲)$$

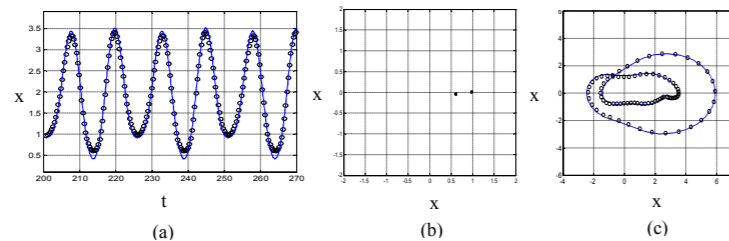
$$\Delta x = \Delta a_0 + \sum_{n=1}^N [\Delta a_n \cos(n\tau) + \Delta b_n \sin(n\tau)] \quad (۱۳)$$

شده است. به دلیل فرض پاسخ پریودیک در روش IHB، این روش برای پاسخ‌های غیر پریودیک پاسخگو نیست. شکل (۷) نیز برای $T_1 = 5.5$ ، وجود یک پاسخ پریودیک با یک دامنه ثابت را تصدیق می‌کند. همان‌طور که اشاره شد هر کدام از متغیرهای سیستم می‌تواند

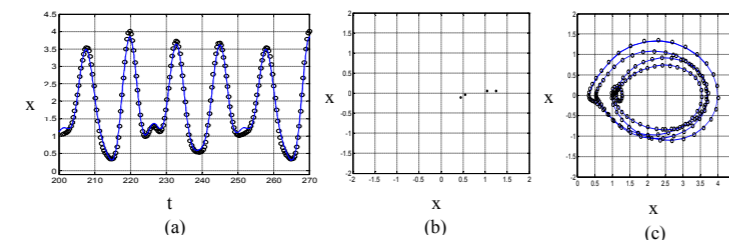
پاسخ برای $T_1 = 3.4$ برای حالتی که پاسخ دارای چهار دامنه می‌باشد، ترسیم شده است که با توجه به نمودار دوشاخه‌شدگی، سیستم دارای چهار مقدار است. در $T_1 = 4.5$ سیستم دچار آشوب شده که این موضوع در شکل (۶) قابل رویت است. پاسخ سیستم در حالت آشفته فقط با روش عددی محاسبه



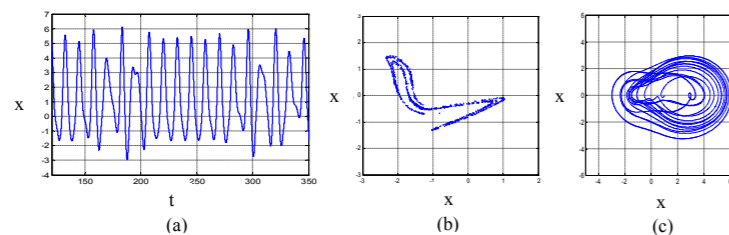
شکل ۳: (a) پاسخ زمانی، (b) نگاشت پوانکاره، (c) نمودار صفحه-فاز به ازای $T_1 = 2.5$ (حل عددی، روش IHB --)



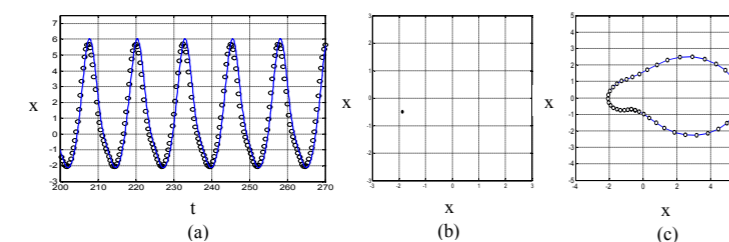
شکل ۴: (a) پاسخ زمانی، (b) نگاشت پوانکاره، (c) نمودار صفحه-فاز به ازای $T_1 = 3.14$ (حل عددی، روش IHB --)



شکل ۵: (a) پاسخ زمانی، (b) نگاشت پوانکاره، (c) نمودار صفحه-فاز به ازای $T_1 = 3.4$ (حل عددی، روش IHB --)



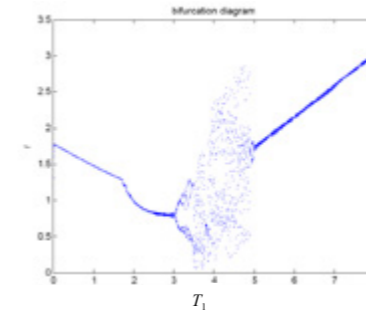
شکل ۶: (a) پاسخ زمانی، (b) نگاشت پوانکاره، (c) نمودار صفحه-فاز به ازای $T_1 = 4.5$ (حل عددی، روش IHB --)



شکل ۷: (a) پاسخ زمانی، (b) نگاشت پوانکاره، (c) نمودار صفحه-فاز به ازای $T_1 = 5.5$ (حل عددی، روش IHB --)

ثابت است. با افزایش T_1 در حدود $T_1 = 3$ سیستم دوشاخه می‌گردد که اشاره به وجود دو برابری پرپود در پاسخ سیستم دارد. با افزایش بیشتر T_1 دوشاخه‌شدگی‌ها ادامه یافته تا سیستم دچار آشوب می‌شود و سپس در حدود $T_1 = 4.99$ سیستم دوباره به حالت یک پریودی باز می‌گردد. برای بررسی صحت این نمودار پاسخ زمانی، نمودارهای صفحه‌فاز و پوانکاره به ازای چند مقدار T_1 ارائه می‌گردد. پاسخ سیستم برای $T_1 = 2.5, 3.14, 3.4, 5.5$ و با استفاده از روش IHB محاسبه می‌گردد. ضرایب به دست آمده برای پاسخ مسئله در جدول (۱) نشان داده شده است.

با توجه به شکل (۲)، به ازای $T_1 = 2.5$ نمودار دارای یک



شکل ۸: نمودار دوشاخه‌شدگی با پارامتر کنترل T_1

جدول ۱: ضرایب پاسخ سیستم برای مقادیر مختلف T_1	T_1
$a_0 = 1.927$ $a_1 = -1.006, a_2 = -0.131, a_3 = 0.0215$ $b_1 = -0.057, b_2 = 0.105, b_3 = -0.00565$	$T_1 = 2.5$
$a_0 = 1.912$ $a_1 = 0.9193, a_2 = -1.297, a_3 = 0.1645, a_4 = 0.1481$ $b_1 = 0.00502, b_2 = -0.08534, b_3 = 0.05546, b_4 = 0.0215$	$T_1 = 3.14$
$a_0 = 1.884$ $a_1 = 0.0055, a_2 = 0.1606, a_3 = -0.01614, a_4 = -1.463$ $a_5 = 0.04645, a_6 = 0.2157, a_7 = -0.09677, a_8 = 0.3847$ $b_1 = -0.02681, b_2 = 0.01886, b_3 = 0.02507, b_4 = -0.1249$ $b_5 = -0.01971, b_6 = 0.1229, b_7 = -0.01568, b_8 = 0.04731$	$T_1 = 3.4$
$a_0 = 1.123$ $a_1 = -3.613, a_2 = 0.8054, a_3 = -0.1826$ $b_1 = -0.4192, b_2 = -0.136, b_3 = -0.0729$	$T_1 = 5.5$

مقدار است. در شکل (۳) پاسخ زمانی، نمودار صفحه‌فاز و همچنین نگاشت پوانکاره مربوطه رسم شده است. با توجه به پاسخ زمانی، جواب به یک مقدار ثابت همگرا می‌شود که در نمودار صفحه‌فاز به صورت یک سیکل حدی و در نگاشت پوانکاره به صورت یک نقطه مشخص می‌باشد. نتایج حاصل از حل عددی در نمودارهای پاسخ زمانی و صفحه-فاز نشان دهنده دقت روش IHB می‌باشند. برای $T_1 = 3.14$ با توجه به شکل (۲) سیستم دارای دو مقدار است که این امر بیانگر وجود پاسخی پریودیک با دو دامنه می‌باشد. در نمودار پاسخ زمانی، جواب به دو مقدار ثابت همگرا می‌شود که در نمودار صفحه‌فاز به صورت دو سیکل حدی و در نگاشت پوانکاره به صورت دو نقطه مشخص می‌باشد (شکل ۴). در شکل (۵)

با اعمال روش گالرکین برای حل معادله (۱۱) خواهیم داشت:

$$(14) \int_0^{2\pi} [\Omega_0^2 \frac{d^2 \Delta x}{d\tau^2} + 2\alpha \Omega_0 \mu \frac{d\Delta x}{d\tau} + f'(x_0) \Delta x] \delta(\Delta x) d\tau = \int_0^{2\pi} [R + \Delta \Omega P] \delta(\Delta x) d\tau$$

با در نظر گرفتن بردارهای مختصات کلی Δa_n و Δb_n ، بردار ضرایب $x(\tau)$ و بردار افزایشی آن به صورت زیر ارائه می‌گردد.

$$(15) a = [a_0, a_1, \dots, a_n, b_1, \dots, b_n], \quad \Delta a = [\Delta a_0, \Delta a_1, \dots, \Delta a_n, \Delta b_1, \dots, \Delta b_n]$$

$$a = [a_0, a_1, \dots, a_n, b_1, \dots, b_n], \quad \Delta a = [\Delta a_0, \Delta a_1, \dots, \Delta a_n, \Delta b_1, \dots, \Delta b_n]$$

با ساده سازی رابطه (۱۴)، یک دستگاه معادلات خطی با $1+2N$ معادله دارای ترم‌های Δa_n و Δb_n به فرم زیر حاصل می‌گردد.

$$(16) \tilde{C} \Delta a = \tilde{R} + \Delta \Omega \tilde{P}$$

برای به دست آوردن پاسخ مسئله مورد نظر پس از اعمال شرایط اولیه و با فرض اولیه از ضرایب $x(\tau)$ ، دستگاه معادلات برای هر مرحله به صورت زیر بازنویسی می‌گردد. برای ساده‌سازی بیشتر مسئله با ثابت نگه داشتن Ω از ترم افزایشی آن صرف نظر می‌گردد.

$$(17) \tilde{C}^{(i)} \Delta a^{(i+1)} = \tilde{R}^{(i)} \quad a^{(i+1)} = a^{(i)} + \Delta a^{(i+1)}$$

پس از هر مرحله ضرایب جدید بردار a به دست آمده و برای مرحله بعد ضرایب جدید بردار a جایگزین می‌شود. در نتیجه با تکرار مراحل، ضرایب a به یک مقدار ثابت که ضرایب پاسخ مسئله می‌باشند، همگرا می‌شوند.

نتایج عددی

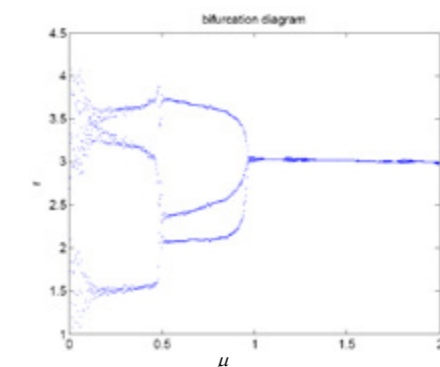
در این قسمت با استفاده از روش IHB به بررسی پاسخ سیستم چرخ‌دنده‌ای که با معادله (۸) بیان شد، می‌پردازیم. در ابتدا با در نظر گرفتن یک ترم برای سختی و خطای انتقال استاتیکی در معادله (۸)، نمودار دو شاخه‌شدگی سیستم مزبور رسم می‌گردد. با توجه به این نمودار، پدیده دو شاخه‌شدگی و آشوب قابل تشخیص است. برای درک بهتر این رفتارها برای برخی از نقاط نمودار، پاسخ زمانی، نگاشت پوانکاره و نمودار صفحه-فاز ارائه می‌گردد. همچنین برای بررسی دقت روش IHB، حل عددی نیز ارائه و نتایج مقایسه می‌گردند.

در به دست آوردن نمودار دوشاخه‌شدگی نیاز به تعیین پارامتر کنترل است. هر کدام از پارامترهای متغیر در معادله می‌تواند به عنوان یک پارامتر کنترل انتخاب گردد. با در نظر گرفتن T_1 به عنوان پارامتر کنترل و انتخاب $\Omega = 0.5$ و $\varepsilon = \varepsilon_1 = 0.05$ ، نمودار دوشاخه‌شدگی مطابق شکل (۲) به دست می‌آید. با توجه به این شکل، سیستم در ابتدا دارای یک مقدار است که بیانگر وجود یک جواب پریودیک با دامنه

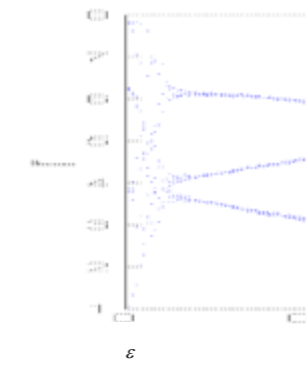
به عنوان یک پارامتر کنترل بیان شود. در ادامه نمودارهای دوشاخه‌شدگی برای پارامترهای کنترل μ و ε نیز ارائه می‌گردد. با توجه به معادله (۸) با انتخاب μ به عنوان عامل کنترل و با در نظر گرفتن پارامترهای سیستم به صورت $\Omega = 1.25$ ، $\varepsilon = \varepsilon_1 = 0.05$ ، $T_0 = 0.9$ ، $T_1 = 0.5$ ، نمودار دوشاخه‌شدگی به صورت شکل (۸) به دست می‌آید. با توجه به شکل (۸)، به ازای مقادیر کوچک μ سیستم دارای آشوب می‌باشد و پس از آن سیستم به یک حالت با سه مقدار در نمودار دوشاخه‌شدگی دست می‌یابد که این مورد بیانگر وجود پاسخ پریودیک با سه دامنه است. با افزایش μ در حدود $\mu = 0.9$ سیستم به یک حالت پایدار با یک مقدار در نمودار دوشاخه‌شدگی تبدیل می‌گردد که معادل با وجود یک حرکت پریودیک با دامنه ثابت است.

در معادله (۸) با در نظر گرفتن پارامترهای سیستم به صورت $\mu = 0.8$ ، $T_1 = 1.5$ ، $T_0 = 0.9$ ، $\varepsilon_1 = 0.05$ ، $\Omega = 1.25$ و با انتخاب ε به عنوان پارامتر کنترل نمودار دوشاخه‌شدگی به صورت شکل (۹) است. با توجه به نمودار دوشاخه‌شدگی، به ازای مقادیر کوچک ε سیستم دارای آشوب است و پس از آن سیستم به یک پاسخ پریودیک با سه دامنه تبدیل می‌گردد. با افزایش ε در حدود $\varepsilon = 0.084$ سیستم دارای پاسخ پریودیک با یک دامنه می‌گردد. این روند تا $\varepsilon = 0.16$ ادامه دارد و به ازای ε های بیشتر نمودار دو شاخه می‌شود و تا $\varepsilon = 0.25$ سیستم دارای دو مقدار می‌باشد. به ازای مقادیر بیشتر ε سیستم دارای یک مقدار است. در این حالت پاسخ سیستم همواره به یک مقدار ثابت همگرا می‌گردد.

بنابراین نمودار دوشاخه‌شدگی را می‌توان برای پارامترهای کنترل مختلف و نیز برای مقادیر ثابت متفاوتی به دست آورد. با تغییر پارامترهای کنترل در نمودار دوشاخه‌شدگی شاهد مناطقی دارای حرکت آشفته می‌باشیم که نهایتاً طراحی سیستم بر اساس این نتایج و نمودارها و برای اجتناب از قرار گرفتن در مناطق آشفته، صورت می‌گیرد.



شکل ۸: نمودار دوشاخه‌شدگی با پارامتر کنترل μ



شکل ۹: نمودار دوشاخه‌شدگی با پارامتر کنترل ε

نتیجه‌گیری

در این پژوهش روش بالانس هارمونیک افزاینده (IHB) برای حل معادلات غیرخطی یک سیستم چرخ‌دنده‌ای دارای لقی، خطای انتقال استاتیکی و نیز سختی درگیری متغیر با زمان استفاده گردید. نمودار دوشاخه‌شدگی با توجه به پارامترهای کنترل مختلف سیستم ترسیم و پاسخ سیستم و پدیده‌هایی مانند دوشاخه‌شدگی و آشوب در این سیستم ارتعاشی غیرخطی بررسی شد. با تغییر پارامترهای کنترل در نمودار دوشاخه‌شدگی شاهد مناطقی دارای حرکت آشفته و ناپایدار می‌باشیم. زمانی که ارتعاشات چرخ‌دنده در این بازه قرار می‌گیرد، ارتعاشات شدید و غیر قابل پیش‌بینی خواهیم داشت. این نوع ارتعاشات باعث وارد شدن صدمه به چرخ‌دنده و ایجاد صدای مزاحم خواهد شد. انتخاب پارامترهای سیستم با توجه به این نمودارها و برای اجتناب از وقوع پدیده‌ی آشوب امکان‌پذیر است.

مراجع

- [1] Ozguven HN., Houser DR., Mathematical models used in gear dynamics—a review. J. Sound Vib., 411-383 (1988) (3)121.
- [2] Yang, D.C.H. Lin, J.Y., Herzian damping, tooth friction and bending elasticity in gear impact dynamics, ASME J. Mech., Transm., Autom. Des. 196-189 (1987) 109.
- [3] Ozguven, H.N. Houser, D.R., Dynamic analysis of high speed gears by using loaded static transmission error, J. Sound Vib. 83-71 (1988) 125.
- [4] Galhoud, L.E. Masri, S .F. Anderson, J.C., Transfer function of a class of nonlinear multidegree of freedom oscillator, ASME J. Appl. Mech. 54 225-215 (1987).
- [5] Sato, K. Kamada, O. Takatsu, N., Jump phenomena in geared system to random excitation, Bull. JSME, 1278-1271 (1979) 28.
- [6] Sato, K. Yamamoto, S. Kawakami, T., Bifurcation sets and chaotic states of a geared system subjected to harmonic excitation, Computational Mech., Berlin 182–173 (1991) 7.
- [7] Kahraman, A. Blankenship, G.W., Experiments on nonlinear dynamic behavior of an oscillator with clearance and periodically time-varying parameters, ASME J. Appl. Mech. -217 (1997) 64 226.
- [8] Theodossiades, S., Natsiavas, S., On geared rotordynamic systems with oil journal bearings, J. Sound Vibration 745-721 (2001) (4) 243.
- [9] Theodossiades, S., Natsiavas, S., Periodic and chaotic dynamics of motor-driven gear-pair systems with backlash, Chaos Solitons Fractals 12 2440-2427 (2001)
- [10] Chang-Jian, C.W., Chen, C.K., Chaos and bifurcation of a flexible rub-impact rotor supported by oil film bearings with non-linear suspension, Mech. Mach. Theory 333-312 (2007) (3) 42.
- [11] Chang-Jian, C.W., Chen, C.K., Bifurcation and chaos of a flexible rotor supported by turbulent journal bearings with non-linear suspension, Transactions IMechE Part J- J. Eng. Tribol. 220 561-549 (2006).
- [12] Chang-Jian, C.W., Chen, C.K., Nonlinear dynamic analysis of a flexible rotor supported by micropolar fluid film journal bearings, Int. J. Eng. Sci. 1070-1050 (2006) 44.
- [13] Chang-Jian, C.W., Chen, C.K., Bifurcation and chaos analysis of a flexible rotor supported

- by turbulent long journal bearings, Chaos Solitons Fractals 1179-1160 (2007) 34
- [14] Yakubovich, V.A., Starzhinskii, V.M., Linear Differential Equations with Periodic Coefficients, John Wiley, New York (1975)
- [15] Padmanabhan, C., Singh, R., Spectral coupling issues in a two-degree-of freedom system with clearance non-linearities, J. Sound Vib. (2)155 230-209 (1992).
- [16] Comparin, R.J., Singh, R., Frequency response characteristics of a multi-degree-of freedom system with clearances, J. Sound Vib. -101 (1990) (1)142 124.
- [17] Comparin, R.J., Singh, R., Non-linear frequency response characteristics of an impact pair, J. Sound Vib. 290-259 (1989) 134.
- [18] Wong CW, Zhang WS, and Lau SL, Periodic forced vibration of unsymmetric piecewise-linear system by incremental harmonic balance method, J. Sound Vib. 105–91 (1991) 149.
- [19] Kim, YB., Multiple harmonic balance method for aperiodic vibration of a piecewise-linear system, ASME J. Vibr. Acoust. 187-181 (1998) 120.
- [20] Raghothama, A., Narayanan, S., Bifurcation and chaos in geared rotor bearing system by incremental harmonic balance method, J. Sound Vib. 492-469 (1999) (3)226.
- [21] Tamminana, V.K., Kahraman, A., Vijayakar, S., An investigation of the relationship between the dynamic transmission error and dynamic factors of a spur gear pair, Journal of Mechanical Design 129 84-75 (2007).
- [22] Theodossiades, S., Natsiavas, S., Non-linear dynamics of gear-pair systems with periodic stiffness and backlash, Journal of Sound and Vibration 310-287 (2000) 229.